



Corso di Fisica Computazionale

- Terza Esercitazione -

L'EQUAZIONE DI BLACK-SCHOLES

Cescato Matteo, Garbi Luca, Libardi Gabriele

Issue: 1

19 agosto 2020

Università degli Studi di Trento
Dipartimento di Fisica
Via Sommarive 14, 38123
Povo (TN), Italia

Indice

1	Il modello di Black-Scholes-Merton	1
1.1	L'equazione di Black-Scholes	1
1.2	Risoluzione analitica dell'equazione di Black-Scholes	3
2	Risoluzione numerica dell'equazione BS	6
2.1	Metodo esplicito	7
2.2	Metodo implicito	8
2.3	Implementazione degli algoritmi	10
3	Discussione dei risultati e confronto con la teoria	10
A	Appendice	15
A.1	Codice	15
A.1.1	Codice in linguaggio C	15
A.1.2	Script MATLAB per i grafici	20

Abstract

In questa esercitazione, viene studiato il modello finanziario di Black-Scholes-Merton. In particolare, viene ricavata e studiata l'equazione alle derivate parziali di Black-Scholes, che modella la dinamica di uno strumento derivato. Essa viene risolta sia analiticamente che numericamente, facendo uso di due metodi alle differenze finite, uno esplicito e l'altro implicito. Infine, vengono discussi i risultati ottenuti, ponendo a confronto le soluzioni numeriche con la soluzione analitica.

1 Il modello di Black-Scholes-Merton

Nella prima parte di questa sezione viene esposto il modello di Black-Scholes-Merton, fino a ricavare l'equazione differenziale alle derivate parziali di Black-Scholes (BS). Nella seconda parte viene risolta l'equazione utilizzando condizioni al contorno che permettano di fornire una formula esplicita per la dinamica dello strumento derivato.

1.1 L'equazione di Black-Scholes

Nella nostra trattazione ci concentreremo solamente sulle Opzioni *Call* (la soluzione è comunque analoga per Opzioni *Put*) di tipo Europeo, ovvero con la possibilità di esercitare il contratto di acquisto o meno solo alla data di scadenza. In particolare, il tipo di opzione analizzato è il *Plain Vanilla*, senza variazioni di tipo esotico. Per quanto riguarda la notazione: verrà utilizzato $S(t)$ per indicare il prezzo dell'*asset* sottostante al tempo t , con $V(S, t)$ si indicherà il prezzo dell'opzione come funzione di S al tempo t , mentre E sarà lo *strike price* dell'opzione, ovvero il prezzo di esercizio alla scadenza del contratto, che assumiamo avvenire al tempo $t = T$.

È necessario specificare le assunzioni che vengono fatte per lo sviluppo del modello:

- possibilità di acquisto o vendita di una qualsiasi quantità, anche frazionaria, di sottostante S e di un *asset* senza rischio R (tipicamente obbligazioni) con un tasso di interesse composto costante r ;
- l'*asset* non paga alcun dividendo, se non il premio di vendita, e nessuna transazione è soggetta a commissione di sorta;
- l'andamento dell'*asset* in funzione del tempo è un processo markoviano e segue un moto browniano geometrico con *drift* e volatilità costanti;
- sul mercato non c'è opportunità di arbitraggio, ovvero non è possibile ottenere un profitto (con ritorno superiore a quello dato da r) senza rischi.

L'intuizione finanziaria dietro al modello di Black-Scholes-Merton è che sia possibile eliminare completamente il rischio dell'acquisto o vendita di un'opzione attraverso, rispettivamente, la vendita o l'acquisto dell'*asset* sottostante (fenomeno chiamato

hedging). Di conseguenza, a causa dell'ultima assunzione elencata, ci dovrà essere un *fair price*, ossia un prezzo corretto per il derivato V tale da non permettere di avere un profitto (superiore a quello che si avrebbe investendo nell'asset R) senza rischi. Inoltre, dato il tipo di PDE e di condizioni al contorno che si trovano con questa trattazione, emerge che il *fair price*, per ogni istante di tempo t , è unico e determinato interamente da S , r , E e T .

Secondo l'assunzione che il prezzo del sottostante segua un moto geometrico browniano, possiamo descrivere la variazione di S in un intervallo infinitesimo dt come

$$dS = \mu S dt + \sigma S dz. \quad (1)$$

Qui il parametro assunto noto μ è il *rate* di ritorno atteso per l'*asset* e identifica un *trend* del prezzo, σ invece è un parametro che rappresenta la volatilità del prezzo, ovvero la deviazione standard intorno al prezzo medio dato dal termine di *trend*, dz infine è un incremento infinitesimo di una variabile stocastica $z(t)$, ben modellizzata da una *random walk*. In definitiva, l'equazione (1) ci dice che, localmente, il tasso di ritorno dell'*asset* ha un valore d'aspettazione μdt ed una varianza $\sigma^2 dt$.

A questo punto, sapendo che il derivato è una funzione deterministica di S e di t , possiamo utilizzare il lemma di Itô (un'applicazione dello sviluppo in serie di Taylor per funzioni di più variabili) per scrivere il differenziale di una funzione dipendente dal tempo per un processo stocastico:

$$dV = \left(\frac{\partial V}{\partial S} \mu S + \frac{\partial V}{\partial t} + \frac{1}{2} \frac{\partial^2 V}{\partial S^2} \sigma^2 S^2 \right) dt + \frac{\partial V}{\partial S} \sigma S dz. \quad (2)$$

Con Π definiamo ora il nostro portafoglio di investimento misto, strutturato così:

$$\Pi = \alpha(t)R + \beta(t)S + V, \quad (3)$$

dove $\alpha(t)$ e $\beta(t)$ rappresentano, rispettivamente, le quantità di *asset* senza rischio a prezzo R e di sottostante S . Notiamo, in passant, che, per come è definito l'*asset* senza rischio, vale $dR = rR dt$.

Calcoliamo la variazione del portafoglio $d\Pi$ dopo un tempo dt :

$$\begin{aligned} d\Pi &= \alpha dR + \beta dS + dV \\ &= \alpha r R dt + \beta(\mu S dt + \sigma S dz) + \left(\frac{\partial V}{\partial S} \mu S + \frac{\partial V}{\partial t} + \frac{1}{2} \frac{\partial^2 V}{\partial S^2} \sigma^2 S^2 \right) dt + \frac{\partial V}{\partial S} \sigma S dz \\ &= \left(\alpha r R + \beta \mu S + \frac{\partial V}{\partial S} \mu S + \frac{\partial V}{\partial t} + \frac{1}{2} \frac{\partial^2 V}{\partial S^2} \sigma^2 S^2 \right) dt + \left(\beta \sigma S + \frac{\partial V}{\partial S} \sigma S \right) dz \end{aligned}$$

Dall'ultima espressione risulta evidente come si possano eliminare gli effetti stocastici della volatilità, presenti nel differenziale dz , scegliendo $\beta = -\frac{\partial V}{\partial S}$. Fatta questa sostituzione, il differenziale del portafoglio diventa

$$d\Pi = d(\alpha R + \beta S + V) = \left(\alpha r R + \frac{\partial V}{\partial t} + \frac{1}{2} \frac{\partial^2 V}{\partial S^2} \sigma^2 S^2 \right) dt.$$

A questo punto, bisogna imporre la condizione di *fair value* che non permetta l'arbitraggio. Quindi imponiamo che il ritorno massimo che si possa avere investendo con il portafoglio misto (3) sia pari a quello che si avrebbe se si investisse in un portafoglio formato solamente da *asset* senza rischio (quindi con $\Pi = R$). Otteniamo la condizione $d\Pi = r\Pi dt$, quindi

$$r\Pi dt = r(\alpha R + \beta S + V)dt = \left(\alpha rR + \frac{\partial V}{\partial t} + \frac{1}{2} \frac{\partial^2 V}{\partial S^2} \sigma^2 S^2 \right) dt,$$

che, elidendo i termini dipendenti da α , porta all'**equazione di Black-Scholes**:

$$\boxed{\frac{\partial V}{\partial t} + \frac{1}{2} \sigma^2 S^2 \frac{\partial^2 V}{\partial S^2} + rS \frac{\partial V}{\partial S} - rV = 0} \quad (4)$$

La condizione finale data dall'opzione di esecuzione o meno del contratto al *payoff time* T è

$$V(S, T) = \max\{S - E, 0\}, \quad \text{per } S \geq 0. \quad (5)$$

Ora, essendo presente una derivata parziale al secondo ordine rispetto ad S , sono necessarie due condizioni al contorno per questa variabile. Scegliamo le seguenti:

$$\begin{cases} V(0, t) = 0 & \text{per ogni } t \\ V(S, t) \rightarrow S & \text{per } S \rightarrow \infty \end{cases} \quad (6)$$

dove la prima rispecchia il fatto che il prezzo dello strumento derivato sia nullo quando lo è quello del sottostante; inoltre è chiaro come per la (5) il contratto non abbia alcun valore se al tempo finale vale $S = 0$. La seconda condizione, invece, deriva dal fatto che per $S \rightarrow \infty$ è sempre più probabile che $S(T)$ sia maggiore del prezzo di esercizio E e quindi che il valore del contratto, in questo limite, sia $V \sim S - E \sim S$. È opportuno notare come la seconda condizione, seppur scelta con cognizione di causa rispetto alla realtà, non sempre rispecchi la natura degli strumenti derivati.

1.2 Risoluzione analitica dell'equazione di Black-Scholes

Per un'Opzione Europea di tipo *Call* si può mostrare come l'equazione (4) risulti sostanzialmente un'equazione di diffusione.

Volendo trasformare l'equazione parabolica di tipo *backward* in una di tipo *forward*, più comoda nella risoluzione, procediamo effettuando le sostituzioni

$$\tau \equiv \frac{\sigma^2}{2}(T - t), \quad x \equiv \ln\left(\frac{S}{E}\right), \quad v \equiv \frac{V}{E},$$

con le quali otteniamo per le derivate

$$\frac{\partial V}{\partial t} = -\frac{E\sigma^2}{2} \frac{\partial v}{\partial \tau},$$

$$\begin{aligned}\frac{\partial V}{\partial S} &= \frac{E}{S} \frac{\partial v}{\partial x}, \\ \frac{\partial^2 V}{\partial S^2} &= \frac{\partial}{\partial S} \left(\frac{\partial V}{\partial S} \right) = -\frac{E}{S^2} \frac{\partial v}{\partial x} + \frac{E}{S^2} \frac{\partial^2 v}{\partial x^2},\end{aligned}$$

e per la condizione finale (5)

$$V(S, T) = \max\{S - E, 0\} = \max\{Ee^x - E, 0\} \implies v(x, 0) = \max\{e^x - 1, 0\}.$$

Sostituendo le derivate all'interno dell'equazione BS si ottiene

$$-\frac{E\sigma^2}{2} \frac{\partial v}{\partial \tau} + \frac{1}{2}\sigma^2 S \left(-\frac{E}{S^2} \frac{\partial v}{\partial x} + \frac{E}{S^2} \frac{\partial^2 v}{\partial x^2} \right) + rs \left(\frac{E}{S} \frac{\partial v}{\partial x} \right) - rEv = 0,$$

che, semplificando e sostituendo $a \equiv (2r/\sigma^2) - 1$ e $b \equiv -(a + 1)$, diventa

$$\frac{\partial v}{\partial \tau} = \frac{\partial^2 v}{\partial x^2} + a \frac{\partial v}{\partial x} + bv, \quad (7)$$

ovvero un'equazione di diffusione. Notiamo che, grazie al cambiamento di variabile, ora la variabile x può assumere tutti i valori della retta reale e l'equazione è a coefficienti costanti, determinati dal coefficiente di volatilità e dal tasso di interesse. Possiamo semplificare ulteriormente l'equazione introducendo un altro cambio di variabile:

$$u(x, \tau) \equiv \frac{v(x, \tau)}{e^{\lambda x + \nu \tau}},$$

con λ e ν coefficienti da determinare. Le derivate temporali e spaziali di v ora risultano

$$\begin{aligned}\frac{\partial v}{\partial t} &= \nu e^{\lambda x + \nu \tau} u + e^{\lambda x + \nu \tau} \frac{\partial u}{\partial \tau}, \\ \frac{\partial v}{\partial x} &= \lambda e^{\lambda x + \nu \tau} u + e^{\lambda x + \nu \tau} \frac{\partial u}{\partial x}, \\ \frac{\partial^2 v}{\partial x^2} &= \lambda^2 e^{\lambda x + \nu \tau} u + 2\lambda e^{\lambda x + \nu \tau} \frac{\partial u}{\partial x} + e^{\lambda x + \nu \tau} \frac{\partial^2 u}{\partial x^2}.\end{aligned}$$

A questo punto, possiamo scegliere opportunamente i coefficienti. Prendendo $\lambda = -a/2$ e $\nu = \lambda^2 + a\lambda + b$, l'equazione (7) si riduce semplicemente a

$$\frac{\partial u}{\partial \tau} = \frac{\partial^2 u}{\partial x^2}, \quad (8)$$

ovvero un'equazione del calore con condizione iniziale

$$u(x, 0) \equiv u_0(x) = e^{\lambda x + \nu \cdot 0} v(x, 0) = e^{\lambda x} \max\{e^x - 1, 0\} = \max\left\{2e^{x(a+1)/2} \sinh\left(\frac{x}{2}\right), 0\right\}.$$

La soluzione generale per l'equazione del calore si ricava semplicemente sfruttando le trasformate di Fourier e risulta

$$u(x, \tau) = \frac{1}{2\sqrt{\pi\tau}} \int_{-\infty}^{+\infty} u_0(s) e^{-\frac{(x-s)^2}{4\tau}} ds.$$

Riscriviamo l'integrale con il cambiamento di variabile $z \equiv (s - x)/\sqrt{2\tau}$:

$$u(x, \tau) = \frac{1}{\sqrt{2\pi}} \int_{-\infty}^{+\infty} u_0(z\sqrt{2\tau} + x) e^{-\frac{z^2}{2}} dz.$$

Poiché la funzione u_0 si annulla per $x \leq 0$, possiamo utilizzare come estremo inferiore dell'integrale $z = -x/\sqrt{2\tau}$. La funzione precedente allora diventa la somma di due integrali del tipo

$$\frac{1}{\sqrt{2\pi}} \int_{-x/\sqrt{2\tau}}^{+\infty} e^{\frac{q_{1,2}}{2}(x+z\sqrt{2\tau})} e^{-\frac{z^2}{2}} dz,$$

dove $q_1 \equiv a + 2$ e $q_2 \equiv a + 1$. Questo tipo di integrale si trova tabulato e si riscrive come

$$\frac{e^{\frac{qx}{2} + \frac{\tau q^2}{4}}}{\sqrt{2\pi}} \int_{-x/\sqrt{2\tau} - q\sqrt{\tau/2}}^{+\infty} e^{-\frac{z^2}{2}} dz.$$

Quindi l'integrale rimasto risulta essere la funzione di ripartizione di una distribuzione gaussiana; allora, definendo

$$\Phi(d) \equiv \frac{1}{\sqrt{2\pi}} \int_{-\infty}^d e^{-\frac{z^2}{2}} dz,$$

la soluzione per l'equazione del calore (8) risulta

$$u(x, \tau) = e^{\frac{(a+2)x}{2} + \frac{\tau(a+2)^2}{4}} \Phi(d_1) - e^{\frac{(a+1)x}{2} + \frac{\tau(a+1)^2}{4}} \Phi(d_2),$$

con $d_{1,2} \equiv \frac{x}{\sqrt{2\tau}} + q_{1,2}\sqrt{\tau/2}$. Per concludere, torniamo alle variabili di partenza: ponendo

$$d_+ \equiv \frac{\log\left(\frac{S}{E}\right) + (T-t)(r + \sigma^2/2)}{\sigma\sqrt{T-t}}, \quad (9)$$

$$d_- \equiv \frac{\log\left(\frac{S}{E}\right) + (T-t)(r - \sigma^2/2)}{\sigma\sqrt{T-t}}, \quad (10)$$

la soluzione dell'equazione BS per la dinamica di un'Opzione Europea di tipo *Call* risulta

$$\boxed{V(S, t) = S\Phi(d_+) - Ee^{-r(T-t)}\Phi(d_-)} \quad (11)$$

2 Risoluzione numerica dell'equazione BS

In questa sezione vengono discusse le metodologie utilizzate per la risoluzione numerica dell'equazione BS (4). In particolare, vengono utilizzati due metodi alle differenze finite, uno esplicito e l'altro implicito, in cui il problema è ricondotto all'inversione di una matrice tridiagonale. Per l'applicazione di tali metodi si rende necessaria la suddivisione dell'intervallo temporale $[0, T]$ in una *mesh* di $M \in \mathbb{N}$ sottointervalli, ciascuno di ampiezza $\Delta T \equiv T/M$. L'intervallo $[0, \infty)$ su cui è definito il prezzo S dell'*asset*, invece, viene limitato superiormente introducendo il limite artificiale $S_{max} \equiv 3E$. Tale assunzione, nonostante permetta di ottenere risultati che, almeno per bassi valori di S , presentano un buon accordo con la soluzione analitica dell'equazione BS, rappresenta comunque un'approssimazione forte, i cui limiti risulteranno evidenti nel confronto tra soluzione esatta e numerica presentato nella sezione 3. L'intervallo $[0, S_{max}]$ su cui si limita la soluzione viene diviso in $N \in \mathbb{N}$ sottointervalli, ciascuno di ampiezza $\Delta S \equiv S_{max}/N$. Dunque, il piano $[0, S_{max}] \times [0, T]$ è approssimato dal reticolo di punti

$$(n\Delta S, m\Delta t) \in [0, N\Delta S] \times [0, M\Delta t],$$

con $n = 0, 1, \dots, N$ e $m = 0, 1, \dots, M$.

Per semplificare la trattazione successiva, si introduce inoltre il cambio di variabile

$$\mathcal{T} \equiv T - t,$$

con cui l'equazione (4) diventa

$$\frac{\partial \tilde{V}}{\partial \mathcal{T}} - \frac{1}{2}\sigma^2 S^2 \frac{\partial^2 \tilde{V}}{\partial S^2} - rS \frac{\partial \tilde{V}}{\partial S} + r\tilde{V} = 0, \quad (12)$$

avendo definito $\tilde{V}(S, \mathcal{T}) \equiv V(S, T - \mathcal{T})$. Di conseguenza, la condizione finale (5) diventa

$$\tilde{V}(S, 0) = \max\{S - E, 0\}, \quad (13)$$

mentre le condizioni al bordo (6), tenendo conto del limite superiore S_{max} al valore di S , assumono la forma

$$\begin{cases} \tilde{V}(0, \mathcal{T}) = 0 \\ \tilde{V}(S_{max}, \mathcal{T}) = S_{max} - E \end{cases} \quad (14)$$

per ogni $\mathcal{T} \in [0, T]$. Per alleggerire la notazione, in seguito si utilizzerà il simbolo v_n^m per indicare la quantità $\tilde{V}(n\Delta S, m\Delta t)$.

Nella nostra risoluzione numerica dell'equazione BS, per entrambi i metodi utilizzati, si fissano per i parametri i valori $T = 0.25$, $E = 10$, $r = 0.1$, $\sigma = 0.4$, e si considerano due casi distinti: $N = 200$, $M = 2000$, e $N = 1000$, $M = 41000$.

2.1 Metodo esplicito

Al fine di risolvere l'equazione BS riscritta nella forma (12), si introduce una scrittura discretizzata delle derivate parziali di \tilde{V} . La derivata temporale si approssima considerando una differenza finita in avanti (*forward difference*):

$$\frac{\partial \tilde{V}}{\partial \mathcal{T}}(n\Delta S, m\Delta t) = \frac{v_n^{m+1} - v_n^m}{\Delta t} + \mathcal{O}(\Delta t).$$

Per le derivate rispetto a S si considera invece una differenza finita centrata simmetrica (*symmetric central difference*):

$$\begin{aligned} \frac{\partial \tilde{V}}{\partial S}(n\Delta S, m\Delta t) &= \frac{v_{n+1}^m - v_{n-1}^m}{2\Delta S} + \mathcal{O}((\Delta S)^2), \\ \frac{\partial^2 \tilde{V}}{\partial S^2}(n\Delta S, m\Delta t) &= \frac{v_{n+1}^m - 2v_n^m + v_{n-1}^m}{(\Delta S)^2} + \mathcal{O}((\Delta S)^2). \end{aligned}$$

Sostituendo tali derivate approssimate nell'equazione (12), si trova

$$\frac{v_n^{m+1} - v_n^m}{\Delta t} - \frac{1}{2}\sigma^2 n^2 (\Delta S)^2 \frac{v_{n+1}^m - 2v_n^m + v_{n-1}^m}{(\Delta S)^2} - rn\Delta S \frac{v_{n+1}^m - v_{n-1}^m}{2\Delta S} + rv_n^m = 0, \quad (15)$$

con $n = 1, 2, \dots, N - 1$ e $m = 1, 2, \dots, M - 1$. L'errore complessivo è di ordine $\mathcal{O}(\Delta t + (\Delta S)^2)$. Isolando v_n^{m+1} nella (15) e definendo le quantità

$$\alpha \equiv \sigma^2 \Delta t, \quad \beta \equiv r \Delta t, \quad (16)$$

si ottiene infine

$$v_n^{m+1} = \frac{1}{2}(\alpha n^2 - \beta n)v_{n-1}^m + (1 - \alpha n^2 - \beta)v_n^m + \frac{1}{2}(\alpha n^2 + \beta n)v_{n+1}^m.$$

Grazie a tale formula, conoscendo $v_n^{m^*}$ per ogni $n \in [0, N] \cap \mathbb{N}$, con m^* fissato, è possibile ricavare un'approssimazione di $v_n^{m^*+1}$, essendo note le quantità $v_0^{m^*+1}$ e $v_N^{m^*+1}$ per l'imposizione delle condizioni al bordo (14). Procedendo iterativamente a partire dalla condizione iniziale (13), è dunque possibile ottenere un'approssimazione numerica dell'intera funzione $\tilde{V}(S, \mathcal{T})$.

Si può dimostrare come il metodo esplicito appena presentato risulti stabile se è verificata la condizione¹

$$0 < \Delta t < \frac{1}{\sigma^2(N-1) + \frac{1}{2}r}.$$

Per i valori scelti per i parametri, tale condizione risulta verificata per entrambe le coppie di valori (N, M) considerate. Dunque, nel nostro caso, l'algoritmo esplicito

¹Per la dimostrazione si veda ad esempio S. Ikonen, *Black-Scholes-yhtälöstä ja sen numeerisesta ratkaisemisesta differenssimenetelmällä*, MD Thesis, University of Jyväskylä, Finland, 2001.

analizzato risulta stabile.

2.2 Metodo implicito

Un altro modo per risolvere l'equazione BS nella forma (12) consiste nell'utilizzare quello che è noto come *full implicit method*. Anche in questo caso, le derivate parziali di \tilde{V} si scrivono in modo discretizzato, considerando però una differenza finita all'indietro (*backward difference*) per la derivata temporale:

$$\begin{aligned}\frac{\partial \tilde{V}}{\partial \mathcal{T}}(n\Delta S, (m+1)\Delta T) &= \frac{v_n^{m+1} - v_n^m}{\Delta T} + \mathcal{O}(\Delta T), \\ \frac{\partial \tilde{V}}{\partial S}(n\Delta S, (m+1)\Delta t) &= \frac{v_{n+1}^{m+1} - v_{n-1}^{m+1}}{2\Delta S} + \mathcal{O}((\Delta S)^2), \\ \frac{\partial^2 \tilde{V}}{\partial S^2}(n\Delta S, (m+1)\Delta t) &= \frac{v_{n+1}^{m+1} - 2v_n^{m+1} + v_{n-1}^{m+1}}{(\Delta S)^2} + \mathcal{O}((\Delta S)^2).\end{aligned}$$

Sfruttando tali approssimazioni, l'equazione (12) diventa

$$\frac{v_n^{m+1} - v_n^m}{\Delta t} - \frac{1}{2}\sigma^2 n^2 (v_{n+1}^{m+1} - 2v_n^{m+1} + v_{n-1}^{m+1}) - rn (v_{n+1}^{m+1} - v_{n-1}^{m+1}) + rv_n^{m+1} = 0, \quad (17)$$

con $n = 1, 2, \dots, N-1$ e $m = 0, 1, \dots, M-1$. Anche qui l'errore complessivo è di ordine $\mathcal{O}(\Delta t + (\Delta S)^2)$. Utilizzando le definizioni (16), dall'equazione (17) si ottiene

$$v_n^m = \frac{1}{2}(\beta n - \alpha n^2) v_{n-1}^{m+1} + (1 + \beta + \alpha n^2) v_n^{m+1} - \frac{1}{2}(\beta n + \alpha n^2) v_{n+1}^{m+1}. \quad (18)$$

Al fine di riscrivere quest'ultima relazione in forma matriciale, si definiscono la matrice tridiagonale

$$A \equiv \begin{pmatrix} a_1 & c_1 & 0 & \cdots & \cdots & 0 \\ b_2 & a_2 & c_2 & 0 & & \vdots \\ 0 & b_3 & a_3 & c_3 & 0 & \\ 0 & 0 & \ddots & \ddots & \ddots & \ddots & \vdots \\ \vdots & & \ddots & & & \ddots & 0 \\ \vdots & & & \ddots & \ddots & \ddots & c_{N-2} \\ 0 & \cdots & \cdots & 0 & b_{N-1} & a_{N-1} \end{pmatrix}$$

con

$$\begin{aligned}a_n &\equiv 1 + \beta + \alpha n^2, & n &= 1, 2, \dots, N-1, \\ b_n &\equiv \frac{1}{2}(\beta n - \alpha n^2), & n &= 2, 3, \dots, N-1, \\ c_n &\equiv -\frac{1}{2}(\beta n + \alpha n^2), & n &= 1, 2, \dots, N-2,\end{aligned}$$

e i vettori

$$\mathbf{v}^m \equiv \begin{pmatrix} v_1^m \\ v_2^m \\ \vdots \\ v_{N-1}^m \end{pmatrix}, \quad \mathbf{h}^m \equiv \begin{pmatrix} v_1^m - \frac{1}{2}(\beta - \alpha)v_0^{m+1} \\ v_2^m \\ \vdots \\ v_{N-2}^m \\ v_{N-1}^m + \frac{1}{2}(\beta(N-1) + \alpha(N-1)^2)v_N^{m+1} \end{pmatrix}.$$

Con tali definizioni, la relazione (18) può essere riscritta sotto forma della seguente equazione matriciale:

$$A\mathbf{v}^{m+1} = \mathbf{h}^m, \quad m = 0, 1, \dots, M-1, \quad (19)$$

dove l'incognita è \mathbf{v}^{m+1} .

Per risolvere l'equazione (19) è necessario invertire la matrice A . A tale scopo, si effettua la cosiddetta decomposizione LU, cioè si decompone A nel prodotto di una matrice triangolare inferiore L con una matrice triangolare superiore U :

$$A = LU,$$

con

$$L \equiv \begin{pmatrix} 1 & 0 & \cdots & & \cdots & 0 \\ \tilde{b}_2 & 1 & 0 & & & \vdots \\ 0 & \tilde{b}_3 & 1 & 0 & & \\ \vdots & \ddots & \ddots & \ddots & \ddots & \\ \vdots & & & \ddots & \ddots & \vdots \\ 0 & \cdots & \cdots & 0 & \tilde{b}_{N-1} & 1 \end{pmatrix}, \quad U \equiv \begin{pmatrix} \tilde{a}_1 & \tilde{c}_1 & 0 & \cdots & \cdots & 0 \\ 0 & \tilde{a}_2 & \tilde{c}_2 & 0 & & \vdots \\ 0 & 0 & \tilde{a}_3 & \tilde{c}_3 & 0 & \\ \vdots & & \ddots & \ddots & \ddots & \vdots \\ \vdots & & & \ddots & \ddots & 0 \\ \vdots & & & \ddots & \ddots & \tilde{c}_{N-2} \\ 0 & \cdots & \cdots & 0 & \tilde{a}_{N-1} & \end{pmatrix},$$

dove $\tilde{a}_1 \equiv a_1$, $\tilde{c}_1 \equiv c_1$, e

$$\begin{aligned} \tilde{a}_n &\equiv a_n - \frac{b_n c_{n-1}}{\tilde{a}_{n-1}}, & n = 2, 3, \dots, N-1, \\ \tilde{b}_n &\equiv \frac{b_n}{\tilde{a}_{n-1}}, & n = 2, 3, \dots, N-1, \\ \tilde{c}_n &\equiv c_n, & n = 2, 3, \dots, N-2. \end{aligned}$$

Dunque, ponendo $\mathbf{x}^m \equiv U\mathbf{v}^m$, l'equazione (19) diventa

$$L\mathbf{x}^{m+1} = \mathbf{h}^m,$$

la cui soluzione, per componenti, è data da

$$x_1^{m+1} = h_1^m, \quad x_n^{m+1} = h_n^m - \tilde{b}_n x_{n-1}^{m+1} \quad \text{per } n = 2, 3, \dots, N-1.$$

A questo punto, rimane solo da risolvere l'equazione

$$U\mathbf{v}^{m+1} = \mathbf{x}^{m+1},$$

nell'incognita \mathbf{v}^{m+1} , che ha soluzione, per componenti,

$$v_{N-1}^{m+1} = \frac{x_{N-1}^{m+1}}{\tilde{a}_{N-1}}, \quad v_n^{m+1} = \frac{1}{\tilde{a}_n} (x_n^{m+1} - \tilde{c}_n v_{n+1}^{m+1}) \quad \text{per } n = 1, 2, \dots, N-2.$$

I passaggi effettuati permettono di ricavare una stima di $v_n^{m+1} \forall n \in [0, N] \cap \mathbb{N}$, dati $v_n^m \forall n \in [0, N] \cap \mathbb{N}$ e condizioni al bordo che fissino v_0^m e $v_N^m \forall m \in [0, M] \cap \mathbb{N}$. Procedendo iterativamente a partire dalla condizione iniziale (13) è dunque possibile, anche in questo caso, ricavare un'approssimazione numerica della funzione \tilde{V} . Inoltre, si può dimostrare come tale metodo implicito risulti stabile per qualsiasi scelta di N e M .

2.3 Implementazione degli algoritmi

I due metodi descritti nelle sezioni precedenti sono stati implementati in un programma in linguaggio C. La struttura del codice è molto semplice: la funzione principale *main*, per ogni coppia di valori (N, M) scelta e ciascuno dei due algoritmi utilizzati, richiama ciclicamente in modo alternativo le funzioni *passo_esplicito* e *passo_implicito*, incaricate rispettivamente di eseguire un passo dei metodi esplicito e implicito. Entrambe le funzioni, data la funzione discretizzata $\tilde{V}(n\Delta S, m^* \Delta t)$ (con $n = 0, 1, \dots, N$, m^* fissato) memorizzata in un *array* dichiarato come variabile globale, calcolano i valori $\tilde{V}(n\Delta S, (m^* + 1)\Delta t)$, aggiornando conseguentemente l'*array*. I valori iniziali sono dati dalla condizione (13); i valori $\tilde{V}(0, m\Delta t)$ e $\tilde{V}(N\Delta S, m\Delta t)$ per ogni $m = 0, 1, \dots, M$ sono fissati dalle condizioni al bordo (14).

I risultati ottenuti vengono salvati in un file di testo per la successiva elaborazione mediante l'ambiente MATLAB, con cui vengono tracciati alcuni grafici significativi. Il codice completo, compreso lo script MATLAB, è riportato in Appendice A.1.

3 Discussione dei risultati e confronto con la teoria

Di seguito si riportano alcuni grafici significativi rappresentanti le soluzioni numeriche dell'equazione BS (4) ricavate mediante i due algoritmi analizzati.

Nelle tre figure seguenti sono rappresentati i grafici tridimensionali della funzione V in funzione del tempo t e del prezzo dell'*asset* sottostante S . Il primo grafico (Fig.1) rappresenta la soluzione analitica data dalla relazione (11), mentre nel secondo (Fig.2) e nel terzo (Fig.3) sono rappresentate le soluzioni numeriche ricavate, rispettivamente, con il metodo esplicito ed implicito per $N = 1000$ e $M = 41000$.

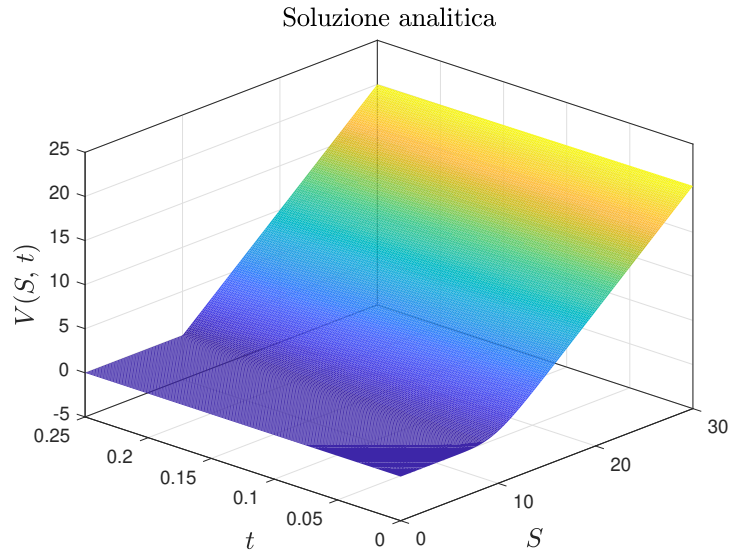


Figura 1: È rappresentata la soluzione analitica (11) dell'equazione BS (4).

Per permettere un miglior confronto tra le soluzioni approssimate e la soluzione esatta, conviene fissare la variabile temporale.

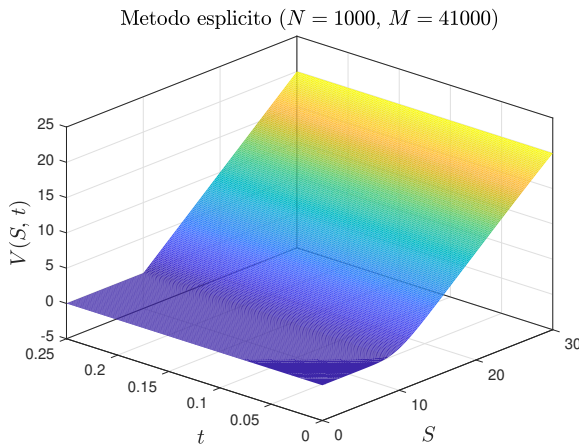


Figura 2: È rappresentata la soluzione numerica dell'equazione BS (4) ricavata con il metodo esplicito con $N = 1000$, $M = 41000$.

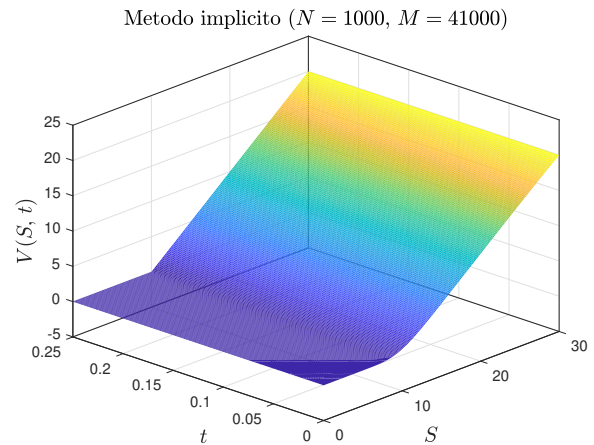


Figura 3: È rappresentata la soluzione numerica dell'equazione BS (4) ricavata con il metodo implicito con $N = 1000$, $M = 41000$.

In particolare, nei grafici riportati nelle figure 4 e 5 viene fissato $t = 0$. Si osserva come per valori di $S \lesssim 20$, le soluzioni numeriche presentino un buon accordo con la soluzione analitica. Per alti valori di S , invece, le soluzioni numeriche, indipendentemente dal metodo utilizzato per ottenerle, risultano sistematicamente inferiori rispetto alla soluzione esatta. Tale discrepanza è dovuta essenzialmente alla scelta di fissare un intervallo limitato $[0, S_{max}]$ su cui può variare S e alla conseguente sostituzione della condizione

$$V(S, t) \rightarrow S \quad \text{per } S \rightarrow \infty$$

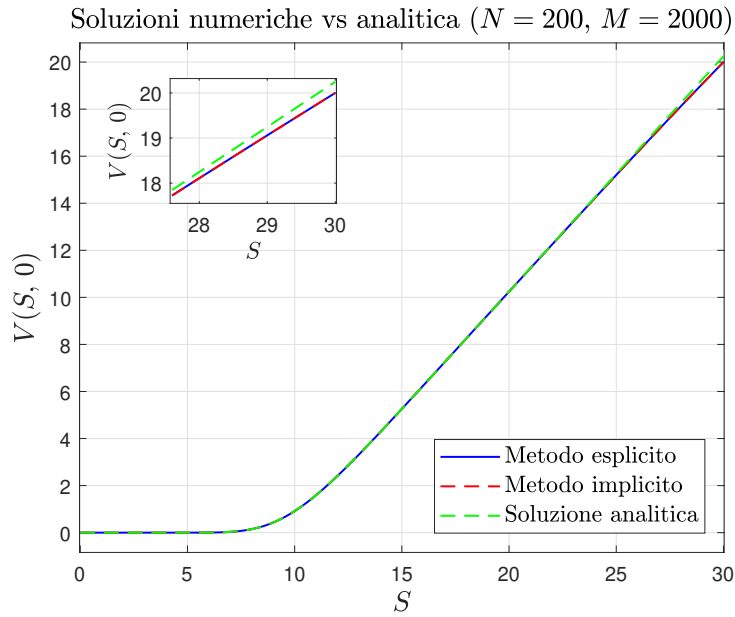


Figura 4: Sono poste a confronto le soluzioni numeriche (ottenute con $N = 200, M = 2000$) e la soluzione analitica (11) dell'equazione BS (4). Il grafico è realizzato a tempo $t = 0$ fissato, al variare di S .

con la condizione al bordo

$$V(S_{max}, t) = S_{max} - E$$

per ogni $t \in [0, T]$. Tale deviazione sistematica delle soluzioni numeriche da quella

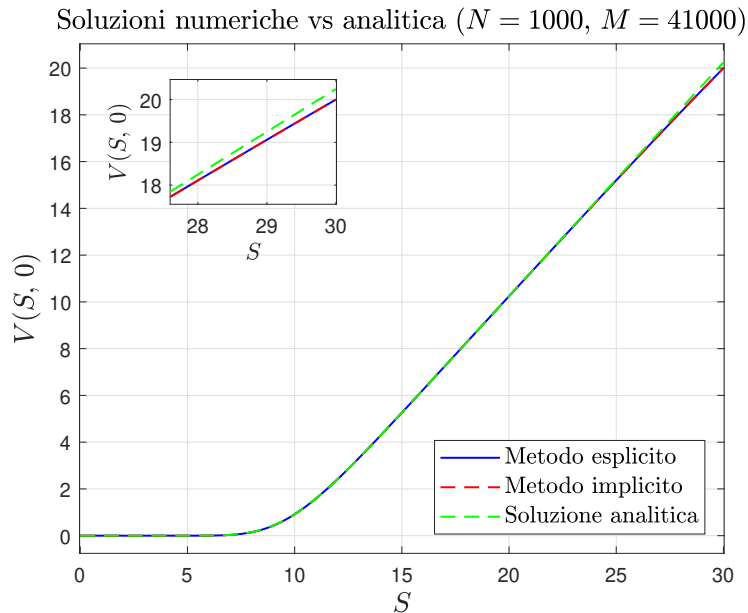


Figura 5: Come in figura 4, ma qui le soluzioni sono ottenute con $N = 1000, M = 41000$.

analitica è resa ancora più evidente dal grafico in figura 6, che rappresenta l'errore assoluto commesso nell'approssimazione numerica per ciascuno dei metodi imple-

mentati. Si osserva che gli errori ottenuti con i due metodi risultano dello stesso ordine di grandezza a parità di N e M scelti. Inoltre, come è lecito aspettarsi, le soluzioni numeriche, per entrambi i metodi utilizzati, risultano tanto migliori quanto

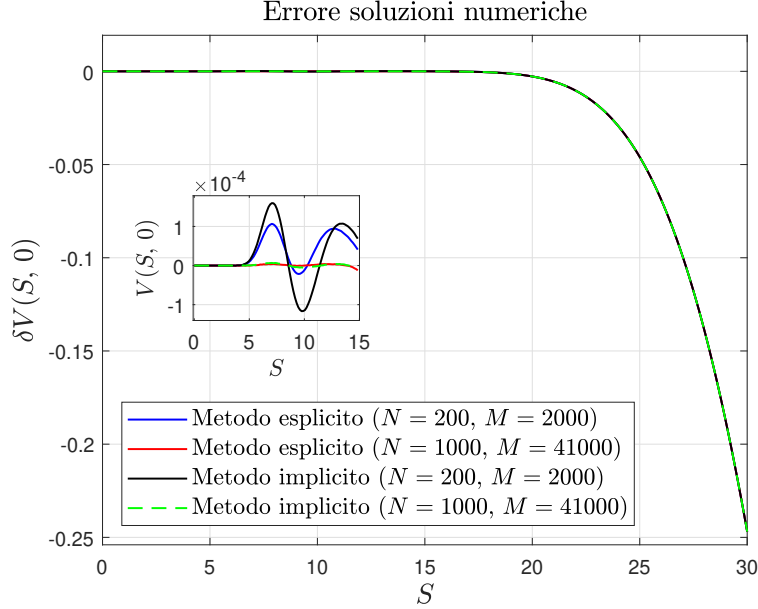


Figura 6: Sono rappresentati gli errori $\delta V(S, 0) \equiv V_{num}(S, 0) - V_{es}(S, 0)$ (con V_{num} soluzione numerica, V_{es} soluzione esatta) al tempo $t = 0$ fissato, al variare di S , per le quattro soluzioni numeriche ricavate.

più sono piccole le ampiezze Δt e ΔS dei sottointervalli in cui sono suddivisi gli intervalli $[0, T]$ e $[0, S_{max}]$ rispettivamente.

Infine, in tabella 1 è riportato $V(S, 0)$ per 4 diversi valori di S , ottenuto con ciascuno dei metodi numerici implementati, e calcolato mediante la formula analitica (11). Per $S \leq 20$, i risultati numerici sono in accordo con la soluzione analitica almeno entro la terza cifra decimale.

Tabella 1: Sono riportate le soluzioni numeriche e la soluzione analitica (11) dell'equazione BS (4), al tempo $t = 0$ fissato, per alcuni valori del prezzo S dell'asset. Si indicano con 'A' le soluzioni ottenute con $N = 200$, $M = 2000$, con 'B' quelle ottenute con $N = 1000$, $M = 41000$.

S	Metodo esplicito		Metodo implicito		Soluzione analitica
	A	B	A	B	
6	0.00385	0.00380	0.00388	0.00380	0.003795
12	2.41450	2.41441	2.41447	2.41441	2.414410
18	8.24719	8.24718	8.24719	8.24718	8.247704
24	14.21760	14.21759	14.21757	14.21759	14.24690

Per completezza, nella coppia di grafici seguente (Fig.7 e Fig.8) vengono raffigurate le soluzioni analitiche e numeriche $V(S, t)$, per alcuni valori di S fissati. Sia per il metodo esplicito che per quello implicito vengono rappresentati i risultati ottenuti con $N = 1000$ e $M = 41000$.

Soluzione con metodo esplicito ($N = 1000, M = 41000$) a S fissato

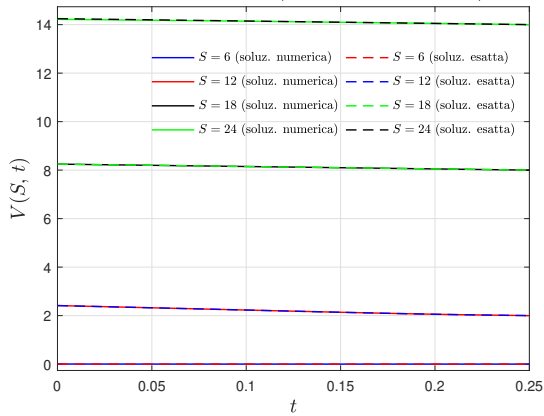


Figura 7: Confronto tra soluzione numerica e analitica dell'equazione BS (4) per alcuni valori di S fissati, ricavata con il metodo esplicito con $N = 1000, M = 41000$.

Soluzione con metodo implicito ($N = 1000, M = 41000$) a S fissato

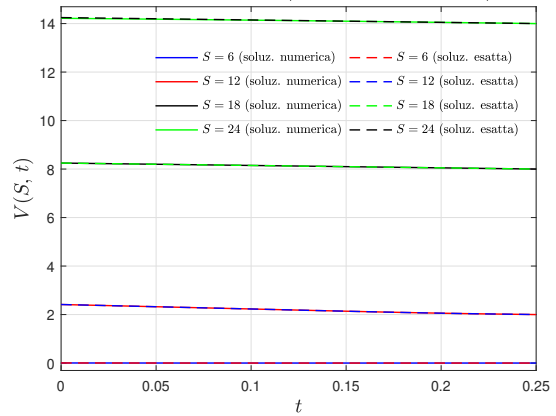


Figura 8: Confronto tra soluzione numerica e analitica dell'equazione BS (4) per alcuni valori di S fissati, ricavata con il metodo implicito con $N = 1000, M = 41000$.

Si nota che, coerentemente con quanto osservato in precedenza, solo per $S = 24$ si riescono ad apprezzare graficamente (lievi) divergenze tra risultati numerici e analitici.

A Appendice

A.1 Codice

Di seguito sono riportati codice e script utilizzati rispettivamente per la parte di risoluzione numerica e per la parte grafica.

A.1.1 Codice in linguaggio C

```
1 #include <stdio.h>
2 #include <stdlib.h>
3
4 #define MAX(a, b) ((a) > (b) ? (a) : (b))
5
6 // Costanti
7 #define T 0.25 // Payoff time
8 #define E 10.0 // Strike price
9 #define r 0.1 // Tasso di interesse
10 #define sigma 0.4 // Volatilita' del prezzo
11 #define S_max 3*E // Prezzo massimo
12 #define NUM_PRINT_n 4 // Numero di valori di S per cui e'
    stampato a video V (a tempo fissato)
13 #define INT_PRINT_m 500 // Numero di passi tra una stampa a
    video e l'altra
14 #define NUM_SAVE_S 200 // (Numero-1) di valori di S per cui
    viene salvato V su file
15 #define NUM_SAVE_t 200 // (Numero-1) di valori di t per cui
    viene salvato V su file
16 #define LUN 2
17 const int N[LUN] = {200, 1000}; // Numero di intervalli in cui
    e' diviso [0, S_max]
18 const int M[LUN] = {2000, 41000}; // Numero di intervalli in
    cui e' diviso [0, T]
19
20 // File per salvataggio dati
21 const char nome_file[] = "C:\\Users\\Admin\\Documents\\MATLAB
    \\esercizio3_"; // Prima parte nome file
22 const char estens[] = ".txt"; // Estensione file
23
24 // Prototipi funzioni
25 void passo_esplicito(short); // Esegue un passo del metodo
    esplicito
26 void passo_implicito(short); // Esegue un passo del metodo
    implicito
27
28 // Variabili globali
```

```
29 double DeltaS; // Ampiezza intervalli in cui e' diviso [0,
    S_max]
30 double DeltaT; // Ampiezza intervalli in cui e' diviso [0, T]
31 double alpha; // sigma^2 * DeltaT
32 double beta; // r * DeltaT
33 double *V; // Puntatore a vettore che conterra' i valori V(n *
    DeltaS, m * DeltaT) (con m \in {0, 1, ..., M} fissato) per
    n = 0, 1, ..., N
34 double t; // Tempo (trasformato secondo t' = T - t)
35
36
37 int main(){
38     FILE *file;
39
40     short i, k;
41     int j, m;
42     int n_print[NUM_PRINT_n], n_save[NUM_SAVE_S+1], int_save_m
        ;
43     char str[56];
44
45     printf("RISOLUZIONE NUMERICA DELL'EQUAZIONE DI BLACK-
        SCHOLES\n\n");
46
47     for(i = 0; i < LUN; i++){
48         for(k = 0; k < 2; k++){ // k = 0: metodo esplicito, k
            = 1: metodo implicito
49             /* File per salvataggio dati
50                 '1': metodo esplicito, '2': metodo implicito;
                    la lettera identifica la coppia (N, M) */
51             sprintf(str, "%s%d%c%s", nome_file, k+1, 'a'+i,
                estens);
52             file = fopen(str, "w");
53
54             // Calcolo parametri
55             DeltaS = S_max / N[i];
56             DeltaT = T / M[i];
57             alpha = sigma * sigma * DeltaT;
58             beta = r * DeltaT;
59
60             // Istanzio vettore V
61             if(k == 0){
62                 if(i == 0)
63                     V = malloc(sizeof(double) * (N[i] + 1));
64                 else
65                     V = realloc(V, sizeof(double) * (N[i] + 1)
                        );
```

```
66     }
67
68     // Condizioni al bordo e condizioni iniziali
69     V[0] = 0;
70     V[N[i]] = S_max - E;
71     for(j = 1; j < N[i]; j++)
72         V[j] = MAX(j * DeltaS - E, 0);
73     t = 0;
74
75     // Stampo a video info e condizioni iniziali
76     if(k == 0){
77         printf("METODO ESPLICITO\n");
78         for(j = 0; j < NUM_PRINT_n; j++)
79             n_print[j] = N[i] / (NUM_PRINT_n + 1) * (j
80                 + 1);
81
82         int_save_m = M[i] / NUM_SAVE_t;
83         for(j = 0; j <= NUM_SAVE_S; j++)
84             n_save[j] = N[i] / NUM_SAVE_S * j;
85     }
86     else{
87         printf("METODO IMPLICITO\n");
88     }
89     printf("N = %d, M = %d\n\n", N[i], M[i]);
90     printf("Passo\tt");
91     for(j = 0; j < NUM_PRINT_n; j++)
92         printf("\t\tV(%1.0f,t)", n_print[j] * DeltaS);
93     printf("\n0\t%.4f", t);
94     for(j = 0; j < NUM_PRINT_n; j++)
95         printf("\t\t%.5f", V[n_print[j]]);
96     printf("\n");
97
98     // Salvo su file condizioni iniziali
99     fprintf(file, "0");
100    for(j = 0; j <= NUM_SAVE_S; j++)
101        fprintf(file, " %f", n_save[j] * DeltaS);
102    fprintf(file, "\n");
103    fprintf(file, "%f", t);
104    for(j = 0; j <= NUM_SAVE_S; j++)
105        fprintf(file, " %f", V[n_save[j]]);
106    fprintf(file, "\n");
107
108    // Evoluzione temporale
109    for(m = 1; m <= M[i]; m++){
110        if(k == 0)
```

```
110         passo_esplicito(i); // Passo algoritmo
           esplicito
111     else
112         passo_implicito(i); // Passo algoritmo
           implicito
113
114     // Stampo a video passo
115     if(m % INT_PRINT_m == 0){
116         printf("%d\t%.5f", m, t);
117         for(j = 0; j < NUM_PRINT_n; j++)
118             printf("\t\t%.5f", V[n_print[j]]);
119         printf("\n");
120     }
121
122     // Salvo su file passo
123     if(m % int_save_m == 0){
124         fprintf(file, "%f", t);
125         for(j = 0; j <= NUM_SAVE_S; j++)
126             fprintf(file, " %f", V[n_save[j]]);
127         fprintf(file, "\n");
128     }
129 }
130
131     printf("\n-----\n\n");
132
133     fclose(file);
134 }
135 }
136
137 return 0;
138 }
139
140
141 // Passo del metodo esplicito
142 void passo_esplicito(short index){
143     int n;
144     double V_prec = V[0], temp;
145
146     for(n = 1; n < N[index]; n++){
147         temp = V[n];
148         V[n] = 0.5 * (alpha * n * n - beta * n) * V_prec + (1
           - alpha * n * n - beta) * V[n] + 0.5 * (alpha * n *
           n + beta * n) * V[n+1];
149         V_prec = temp;
150     }
151 }
```

```
152     t += DeltaT;
153 }
154
155
156 /* Passo del metodo implicito:
157    risoluzione dell'equazione matriciale  $A * v = h$  (v
158    incognito) */
159 void passo_implicito(short index){
160     int n;
161     double a[N[index]], b[N[index]], c[N[index]], x[N[index]];
162
163     // A = LU decomposition
164     a[1] = 1 + beta + alpha;
165     c[1] = -0.5 * (beta + alpha);
166     for(n = 2; n < N[index]; n++){
167         a[n] = 1 + beta + alpha * n * n + 0.25 * (beta * n -
168             alpha * n * n) * (beta * (n - 1) + alpha * (n - 1)
169             * (n - 1)) / a[n-1];
170         b[n] = 0.5 * (beta * n - alpha * n * n) / a[n-1];
171         c[n] = -0.5 * (beta * n + alpha * n * n);
172     }
173
174     // Soluzione di  $L * x = h$  ( $x = U * v$  incognito)
175     x[1] = V[1] - 0.5 * (beta - alpha) * V[0];
176     for(n = 2; n < N[index]-1; n++)
177         x[n] = V[n] - b[n] * x[n-1];
178     x[N[index]-1] = V[N[index]-1] + 0.5 * (N[index] - 1) * (
179         beta + alpha * (N[index] - 1)) * V[N[index]] - b[N[
180         index]-1] * x[N[index]-2];
181
182     // Soluzione di  $U * v = x$ 
183     V[N[index]-1] = x[N[index]-1] / a[N[index]-1];
184     for(n = N[index]-2; n > 0; n--)
185         V[n] = (x[n] - c[n] * V[n+1]) / a[n];
186
187     // Incremento del tempo
188     t += DeltaT;
189 }
```

A.1.2 Script MATLAB per i grafici

```
1 close all;
2 format long;
3
4 colori = 'brkg';
5 colori2 = 'rbgk';
6 etichette = ['a', 'b'];
7 metodo = {'esplicito'; 'implicito'};
8 N = [200, 1000];
9 M = [2000, 41000];
10 E = 10;
11 T = 0.25;
12 r = 0.1;
13 sigma = 0.4;
14 S_max = 3 * E;
15 S_print = [6, 12, 18, 24];
16
17
18 %% Soluzione analitica: calcolo e grafico
19 S_e = (0:S_max/200:S_max)';
20 t_e = (0:T/200:T)';
21 V_e = zeros(length(t_e), length(S_e));
22
23 for k = 1:length(t_e)
24     for h = 1:length(S_e)
25         V_e(k, h) = S_e(h) * PHI((log(S_e(h) / E) + (r + sigma
26             ^2 / 2) * (T - t_e(k)))...
27             / (sigma * sqrt(T - t_e(k)))) - E * exp(-r * (T -
28                 t_e(k))) * PHI((log(S_e(h) / E)...
29                 + (r - sigma^2 / 2) * (T - t_e(k))) / (sigma *
30                     sqrt(T - t_e(k))));
31         if isnan(V_e(k, h))
32             V_e(k, h) = 0;
33         end
34     end
35 end
36
37 %% Grafico 3D
38 figure();
39 grid on;
40 hold on;
41 box on;
42 pl = surf(S_e, t_e, V_e);
43 set(pl, 'LineStyle', 'none');
44 tt = title('Soluzione analitica', 'Interpreter', 'latex');
45 xx = xlabel('$$S$$', 'Interpreter', 'latex');
```

```
43 yy = ylabel('$t$', 'Interpreter', 'latex');
44 zz = zlabel('$V(S,\,t)$', 'Interpreter', 'latex');
45 set(xx, 'FontSize', 14);
46 set(yy, 'FontSize', 14);
47 set(zz, 'FontSize', 14);
48 set(tt, 'FontSize', 14);
49
50 % Grafico a S fissato per vari valori di S
51 figure();
52 grid on;
53 hold on;
54 box on;
55 labels = {};
56 for i = 1:length(S_print)
57     pl = plot(t_e, V_e(:, S_e == S_print(i)));
58     set(pl, 'LineWidth', 1);
59     labels = [labels, ['$S = ' num2str(S_print(i)) '$']];
60 end
61 tt = title('Soluzione analitica a $$$ fissato', 'Interpreter',
62           'latex');
63 xx = xlabel('$t$', 'Interpreter', 'latex');
64 yy = ylabel('$V(S,\,t)$', 'Interpreter', 'latex');
65 ll = legend(labels, 'Interpreter', 'latex');
66 set(xx, 'FontSize', 14);
67 set(yy, 'FontSize', 14);
68 set(tt, 'FontSize', 14);
69 set(ll, 'FontSize', 12);
70
71 %% Soluzioni numeriche: upload dati e grafici
72 for j = 1:2
73     for i = 1:length(etichette)
74         %% Carico dati
75         dati = importdata(['esercizio3_' num2str(j) etichette(
76             i) '.txt']);
77         S = (dati(1, 2:end))';
78         V = dati(2:end, 2:end);
79         t = dati(2:end, 1);
80
81         t = T - t; % Cambio variabile
82
83         %% Grafici
84         % Grafico 3D
85         figure();
86         grid on;
87         hold on;
```

```

87     box on;
88     pl = surf(S, t, V);
89     set(pl, 'LineStyle', 'none');
90     zlim([-5, 25]);
91     tt = title(['Metodo ' char(metodo(j)) ' $(N = '
92             num2str(N(i))...
93             '$, $M = ' num2str(M(i)) '$'] , 'Interpreter', '
94             latex');
95     xx = xlabel('$$$' , 'Interpreter', 'latex');
96     yy = ylabel('$t$' , 'Interpreter', 'latex');
97     zz = zlabel('$V(S,\,t)$' , 'Interpreter', 'latex');
98     set(xx, 'FontSize', 14);
99     set(yy, 'FontSize', 14);
100    set(zz, 'FontSize', 14);
101    set(tt, 'FontSize', 14);
102
103    % Grafico a S fissato per vari valori di S e confronto
104    % con sol. analitica
105    figure();
106    grid on;
107    hold on;
108    box on;
109    labels = {};
110    for k = 1:length(S_print)
111        pl = plot(t, V(:, S == S_print(k)), colori(k));
112        set(pl, 'LineWidth', 1);
113        labels = [labels, ['$S = ' num2str(S_print(k)) '$
114                (soluz. numerica)']];
115    end
116    for k = 1:length(S_print)
117        pl = plot(t_e, V_e(:, S_e == S_print(k)), ['--'
118                colori2(k)]);
119        set(pl, 'LineWidth', 1);
120        labels = [labels, ['$S = ' num2str(S_print(k)) '$
121                (soluz. esatta)']];
122    end
123    tt = title(['Soluzione con metodo ' char(metodo(j)) '
124            $(N = ' num2str(N(i))...
125            '$, $M = ' num2str(M(i)) '$ a $$$ fissato'], '
126            Interpreter', 'latex');
127    xx = xlabel('$t$' , 'Interpreter', 'latex');
128    yy = ylabel('$V(S,\,t)$' , 'Interpreter', 'latex');
129    ll = columnlegend(2, labels, 'Interpreter', 'latex');
130    set(xx, 'FontSize', 14);
131    set(yy, 'FontSize', 14);
132    set(tt, 'FontSize', 14);

```



```

125     set(ll, 'FontSize', 14);
126
127     % Confronto sol. analitica vs numeriche a t=0 fissato
128     if j == 1
129         fig(i) = figure();
130         ax_fig(i) = gca();
131         grid on;
132         hold on;
133         box on;
134         pl = plot(S, V(end, :), colori(j));
135         set(pl, 'LineWidth', 1);
136
137         % Zoom
138         ax_zoom(i) = axes('Position', [.24 .67 .20 .20]);
139         grid on;
140         hold on;
141         box on;
142         pl = plot(S(185:end), V(end, 185:end), colori(j));
143         set(pl, 'LineWidth', 1);
144     else
145         figure(fig(i));
146         axes(ax_fig(i));
147         pl = plot(S, V(end, :), ['--' colori(j)]);
148         set(pl, 'LineWidth', 1);
149         pl = plot(S_e, V_e(1, :), '--g');
150         set(pl, 'LineWidth', 1);
151         tt = title(['Soluzioni numeriche vs analitica $(N$
152             = '...
153                 num2str(N(i)) '$, $M = ' num2str(M(i)) '$'],
154                 'Interpreter', 'latex');
155         xx = xlabel('$$S$', 'Interpreter', 'latex');
156         yy = ylabel('$$V(S, \, 0)$$', 'Interpreter', 'latex');
157         ll = legend('Metodo esplicito', 'Metodo implicito'
158             , 'Soluzione analitica');
159         set(xx, 'FontSize', 14);
160         set(yy, 'FontSize', 14);
161         set(tt, 'FontSize', 14);
162         set(ll, 'FontSize', 12);
163         set(ll, 'Location', 'SouthEast');
164         set(ll, 'Interpreter', 'latex');
165
166         % Zoom
167         axes(ax_zoom(i));
168         pl = plot(S(185:end), V(end, 185:end), ['--'
169             colori(j)]);
170         set(pl, 'LineWidth', 1);

```

```

167         pl = plot(S_e(185:end), V_e(1, 185:end), '--g');
168         set(pl, 'LineWidth', 1);
169         xx = xlabel('$S$', 'Interpreter', 'latex');
170         yy = ylabel('$V(S, \, 0)$', 'Interpreter', 'latex');
171         set(xx, 'FontSize', 12);
172         set(yy, 'FontSize', 12);
173     end
174
175     % Grafico errore
176     if j == 1 && i == 1
177         fig_err = figure();
178         ax_err = gca();
179         grid on;
180         hold on;
181         box on;
182         ax_zoom_err = axes('Position', [.24 .47 .20 .20]);
183         grid on;
184         hold on;
185         box on;
186         num = 1;
187         lab = {};
188     end
189     figure(fig_err);
190     if num ~= 4
191         axes(ax_err);
192         pl = plot(S, V(end, :) - V_e(1, :), colori(num));
193         axes(ax_zoom_err);
194         pl2 = plot(S(1:100), V(end, 1:100) - V_e(1, 1:100)
195             , colori(num));
196     else
197         axes(ax_err);
198         pl = plot(S, V(end, :) - V_e(1, :), ['--' colori(
199             num)]);
200         axes(ax_zoom_err);
201         pl2 = plot(S(1:100), V(end, 1:100) - V_e(1, 1:100)
202             , ['--' colori(num)]);
203     end
204     set(pl, 'LineWidth', 1);
205     set(pl2, 'LineWidth', 1);
206     lab = [lab, ['Metodo ' char(metodo(j)) ' $(N = '...
207         num2str(N(i)) '$, $M = ' num2str(M(i)) '$)']];
208     num = num + 1;
209 end
210 end
211 figure(fig_err);

```

```
210 axes(ax_err);
211 tt = title('Errore soluzioni numeriche', 'Interpreter', 'latex
    ');
212 xx = xlabel('$$$ ', 'Interpreter', 'latex');
213 yy = ylabel('$\delta V(S,\,0)$', 'Interpreter', 'latex');
214 ll = legend(lab, 'Interpreter', 'latex');
215 set(xx, 'FontSize', 14);
216 set(yy, 'FontSize', 14);
217 set(tt, 'FontSize', 14);
218 set(ll, 'FontSize', 12);
219 set(ll, 'Location', 'SouthWest');
220
221 axes(ax_zoom_err);
222 xx = xlabel('$$$ ', 'Interpreter', 'latex');
223 yy = ylabel('$V(S,\,0)$', 'Interpreter', 'latex');
224 set(xx, 'FontSize', 12);
225 set(yy, 'FontSize', 12);
226
227
228 %% Funzione per calcolo soluzione analitica
229 function [phi] = PHI(d)
230     fun = @(x) exp(-x.^2./2);
231     phi = 1 / sqrt(2 * pi) * integral(fun, -Inf, d);
232 end
```